Jornada científica del LES 2022

AVALIAÇÃO DE MODELOS UTILIZADOS NA ESTIMATIVA DA RADIAÇÃO DIFUSA NA RESOLUÇÃO DOS MINUTOS PARA UMA CIDADE DE BAIXA LATITUDE

João Victor Medeiros ioao.furtado@ufpe.br

Diego Miranda diego.rmiranda@ufpe.br

Emerson Gomes emerson.torres@ufpe.br

Olga Vilela ocv@ufpe.br **Alex Pereira** alexcp@chesf.gov.br

Eduardo Jatoba ejatoba@chesf.gov.br

Alcides Neto alcidesc@chesf.gov.br

José Melo Filho ibionef@chesf.gov.br













Introducción

- → O presente trabalho faz parte do projeto de pesquisa de mestrado "Avaliação dos modelos utilizados na estimativa e previsão da geração fotovoltaica a partir de dados de uma usina localizada no semiárido brasileiro"
- → Conhecimento das três componentes da radiação no plano horizontal é fundamental na simulação de sistemas fotovoltaicos e térmicos.

DNI GHI DHI

→ Definir a irradiância que incide no plano dos coletores/módulos FV é necessário encontrar ao menos duas componentes para poder conhecer a 3ª componente no plano horizontal e transpor as componentes para o plano inclinado, plano do arranjo (GTI).



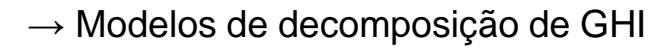
Figura 1: Irradiância incidente no plano do arranjo (Plane of array – POA)

Fonte: Autor. Uruguay, febrero 2022 | 2

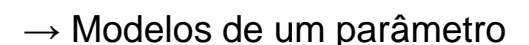
Introducción

Objetivos

- → Não disponibilidade de medições de irradiância plano do arranjo;
- → Os dados solarimétricos de entrada nas simulações correspondem geralmente à irradiancia global no plano horizontal (GHI)







$$k_d = \begin{cases} 1 - 0.249k_t & 0 \le k_t < 0.35 \\ 1.577 - 1.84k_t & 0.35 \le k_t \le 0.75 \\ 0.177 & k_t > 0.75 \end{cases}$$

- → Modelos multiparâmetros
 - (RODRIGUES et al., 2019)
 - → Elevação solar;
 - → Temperatura Ambiente;
 - → Umidade relativa do ar:
 - → Índices de variabilidade;





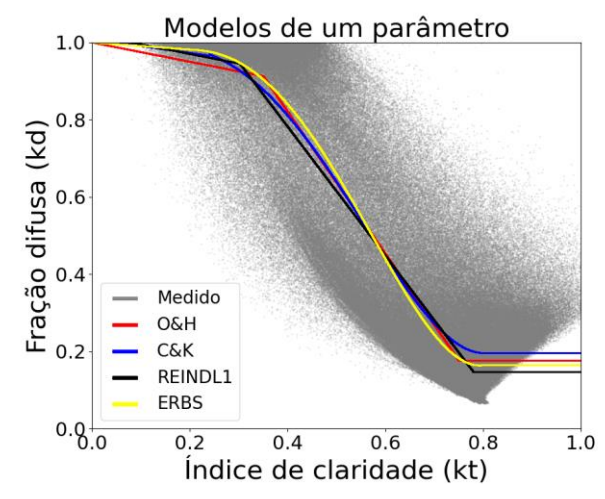


Figura 2: Fração difusa vs índice de claridade Fonte: Autor.

Introducción

Resolução horária



(GUEYMARD; RUIZ-ARIAS, 2016)

- ✓ Fornecer mais informações
- ✓ Garantir simulações mais acuradas, principalmente para sistemas de concentração de energia solar;
 - Não linearidade
 - Efeitos transientes da radiação

Objetivos

- → Avaliar comparativamente diversos modelos de decomposição de GHI para obtenção de DHI com base em dados minuto a minuto.
- → Melhores modelos para a região de Petrolina PE

Base de datos

- → Estação meteorológica do Centro de Referência de Energia Solar de Petrolina (CRESP)
- → Latitude: 9,106861 °S; Longitude: 40,441944 °O; Altitude: 385 m.
- → Dados registrados de 1 em 1 minuto do dia 26 de setembro de 2018 a 05 de julho de 2021.
- → Procedimento de garantia de qualidade dos dados de irradiância (PETRIBÚ *et al.*, 2017)
- → Testes globais e locais
- → Outliers:

GHI: 0,0004% DHI: 1,25%



Figura 4: Rastreador solar com piranômetros classe A do CRESP.

DNI: 1,21% Uruguay, febrero 2022 | 6

Metodología

→ 4 modelos de um parâmetro:

Orgill e Hollands (1977) [O&H]:

$$k_d = \begin{cases} 1 - 0.249k_t & 0 \le k_t < 0.35 \\ 1.557 - 1.84k_t & 0.35 \le k_t \le 0.75 \\ 0.177 & k_t > 0.75 \end{cases}$$

- Toronto, Canada

lat: 43,8°N

Erbs *et al.* (1982) [ERBS]:

$$k_d = \begin{cases} 1 - 0.09k_t & k_t \le 0.22 \\ 0.9511 - 0.1604k_t + 4.388k_t^2 - 16.638k_t^3 + 12.336k_t^4 & 0.22 < k_t \le 0.80 \\ 0.165 & k_t > 0.80 \end{cases}$$

$$k_t \le 0.22 \\ 0.22 < k_t \le 0.80 \\ k_t > 0.80$$

- Estados Unidos | lat: $31,08^{\circ}N \rightarrow 43,8^{\circ}N$

Chandrasekaran e Kumar (1994) [C&K]:

$$k_d = \begin{cases} 1,0086 - 0,178k_t & k_t \leq 0,24 \\ 0,9686 + 0,1325k_t + 1,4183k_t^2 - 10,1860k_t^3 + 8,3733k_t^4 & 0,24 < k_t \leq 0,80 \\ 0,197 & k_t > 0,80 \end{cases}$$

- Madras, Índia lat: 13°N

Reindl et al. (1990) [REINDL1]:

$$k_d = \begin{cases} 1,02 - 0,248k_t & 0 \le k_t \le 0,3 \\ 1,45 - 1,67k_t & 0,30 < k_t < 0,78 \\ 0,147 & k_t \ge 0,78 \end{cases}$$

- Alemanha, Dinamarca, Espanha, Estados Unidos lat: $28,4^{\circ}N \rightarrow 43,8^{\circ}N$

Metodología

Objetivos

→ 8 modelos multiparâmetros foram selecionados

• Reindl *et al.* (1990) [REINDL2]:

$$k_d = \begin{cases} 1,02 - 0,254k_t + 0,0123\sin(\alpha) & 0 \le k_t \le 0,3 \\ 1,40 - 1,749k_t + 0,177\sin(\alpha) & 0,30 < k_t < 0,78 \\ 0,486k_t - 0,182\sin(\alpha) & k_t \ge 0,78 \end{cases}$$

• Reindl *et al.* (1990) [REINDL3]]:

$$k_d = \begin{cases} 1 - 0.232k_t + 0.0239\sin(\alpha) - 0.000682T_a + 0.0195\Phi & 0 \le k_t \le 0.3\\ 1.329 - 1.716k_t + 0.267\sin(\alpha) - 0.00357T_a + 0.106\Phi & 0.30 < k_t < 0.78\\ 0.426k_t - 0.256\sin(\alpha) + 0.00349T_a + 0.0734\Phi & k_t \ge 0.78 \end{cases}$$

- Alemanha, Dinamarca, Espanha, Estados Unidos

• Maxwell (1987) [DISC]:

$$k_{nc} = 0,866 - 0,122AM + 0,0121AM^2 - 0,000653AM^3 + 0,000014AM^4$$

$$\Delta k_n = a + b \exp(c \ AM)$$

- Estados Unidos lat: 25,9°N -> 46,8°N

• Perez *et al.* (1992) [DIRINT]:

$$\begin{split} k_t' &= k_t/(1{,}031 \exp(-1{,}4/(0{,}9+9{,}4/AM)) + 0{,}1) \\ W &= \exp(0{,}07T_{dp} - 0{,}075) \\ \Delta k_t' &= 0{,}5 \big(\big|k_t' - k_{t_{i+1}}'\big| + \big|k_t' - k_{t_{i-1}}'\big| \big) \\ \Delta k_t' &= \big|k_t' - k_{t_{i\pm1}}'\big| \end{split}$$

lat: $28.4^{\circ}N \rightarrow 43.8^{\circ}N$

- 15 localidades

lat: $25,9^{\circ}N -> 52^{\circ}N$

Metodología

- → 8 modelos multiparâmetros foram selecionados
 - Skartveit *et al.* (1998) [SKARTVEIT]:

$$\begin{split} \rho &= k_t/(0.83 - 0.56 \exp{(-0.06 \, \alpha)}) \\ \sigma_3 &= \{ [(\rho_i - \rho_{i-1})^2 + (\rho_i - \rho_{i+1})^2]/2 \}^{0.5} \\ \sigma_3 &= \left| \rho - \rho_{i\pm 1} \right| \end{split}$$

- 4 localidades na Europa lat: 38°N -> 61°N

Ridley *et al.* (2010) [BRL]:

$$k_d = 1/[1 + \exp(-5.38 + 6.63k_t + 0.006HSA - 0.007\alpha + 1.75K_t + 1.31\psi)]$$

$$\psi = \begin{cases} \frac{k_{t_{i-1}} + k_{t_{i+1}}}{2} \\ k_{t_{i+1}} \\ k_{t_{i-1}} \end{cases}$$

 $\psi = \begin{cases} \frac{\kappa_{t_{i-1}} + \kappa_{t_{i+1}}}{2} & nascer do sol < i < p\hat{o}r do sol \\ k_{t_{i+1}} & i = nascer do sol \end{cases}$

 $i = p\hat{o}r do sol$

- Hemisfério Norte e sul

lat: 22°N ->50,8°N e 12,5°S -> 35°S

Lemos *et al.* (2017) [BRL-BR]:

$$k_d = 1/[1 + \exp(-6.26 + 5.97k_t + 0.024HSA - 0.0053\alpha + 2.84K_t + 2.41\psi)]$$

- 9 localidades Brasil

lat: 2,6°S ->29,4°S

Engerer (2015) [ENGERER]:

$$k_d = 0.042336 + \frac{1 - 0.042336}{1 + \exp(-3.7912 + 7.5479k_t - 0.010036 \, HSA + 0.003148 \, \theta_z - 5.3146 \Delta k_{tc})} + 1.7073 \, k_{de}$$

lat: $34.2^{\circ}S \rightarrow 40.7^{\circ}S$ - Austrália

Resultados

\rightarrow Relação k_d vs k_t

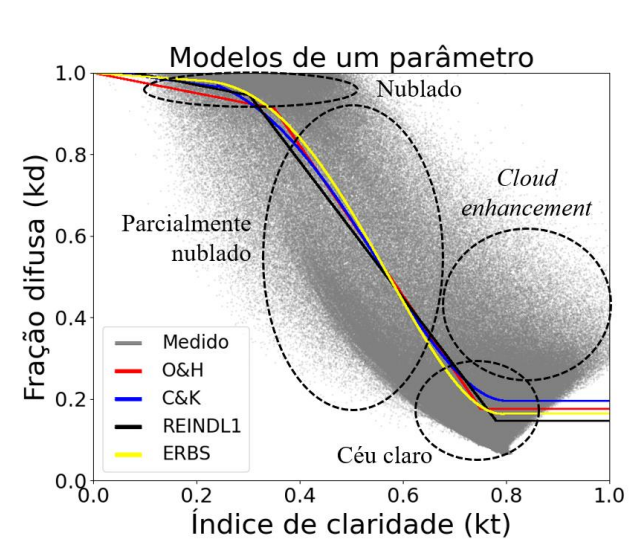


Figura 5: Modelos de um parâmetro comparados ao medido. Fonte: Autor.

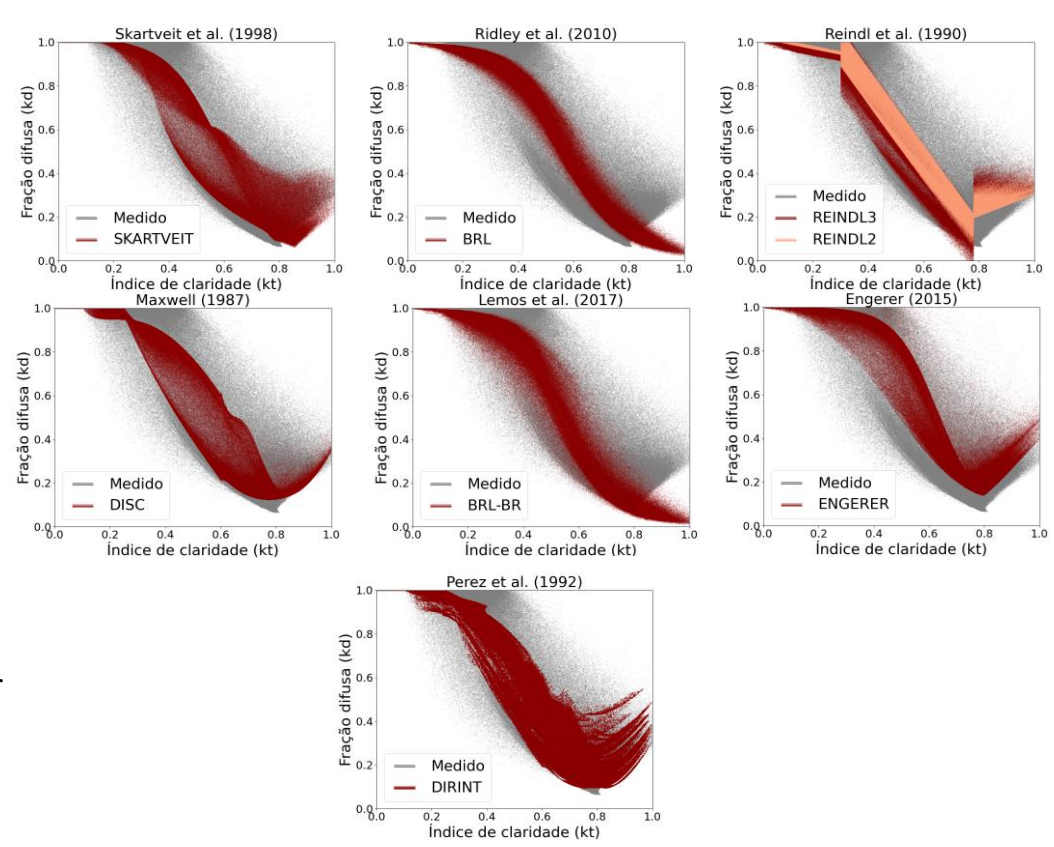


Figura 6: Modelos multiparâmetros.

Fonte: Autor.

Resultados

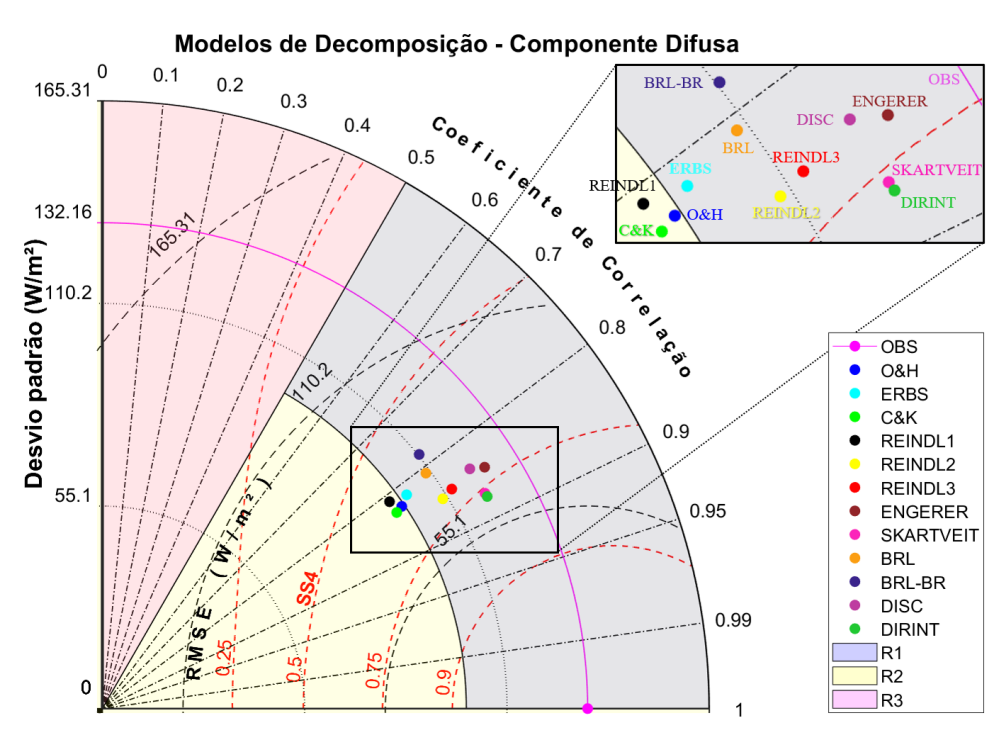


Figura 7: Análise estatística – Diagrama de Taylor. Fonte: Autor.

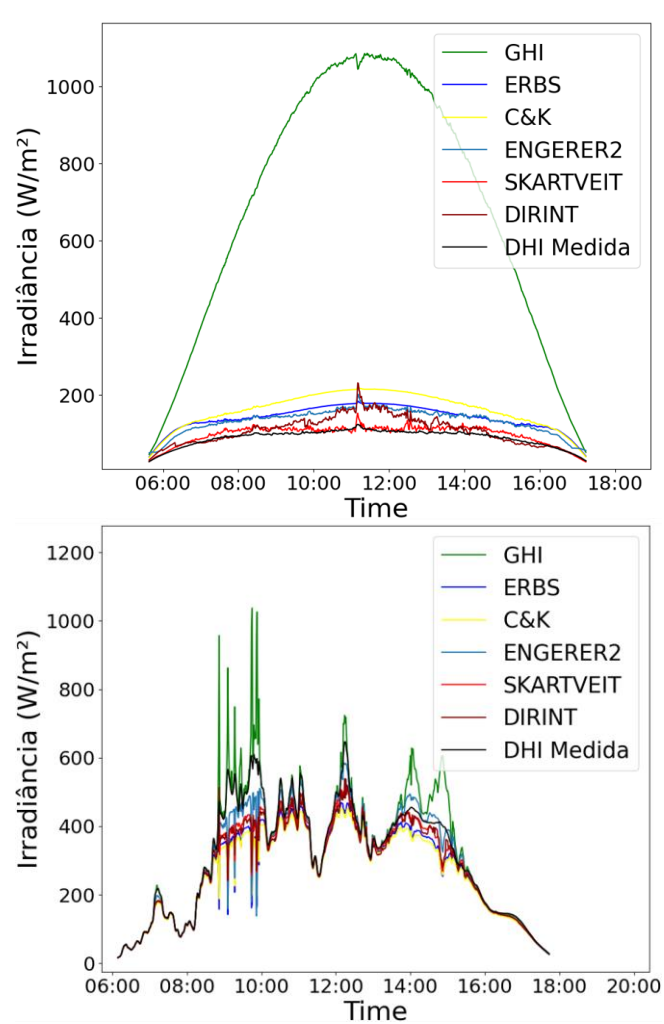


Figura 8: Comportamento da irradiância difusa (DHI) medida e obtida pelos modelos. Fonte: Autor. Uruguay, febrero 2022 | 11

Resultados

Tabela 1: Estatísticos dos modelos avaliados.

MODELO	MBE (W/m²)	nMBE (%)	RMSE (W/m²)	nRMSE (%)	R (-)	stdr (-)	SS4 (-)
O&H	-17,45	-8,52	77,52	37,85	0,8250	0,7437	0,6359
ERBS	-18,77	-9,18	78,93	38,60	0,8158	0,7671	0,6338
REINDL1	-23,43	-11,46	81,85	40,03	0,8085	0,7303	0,6066
C&K	-11,24	-5,50	75,65	37,00	0,8303	0,7297	0,6361
REINDL2	2,49	1,22	69,38	33,93	0,8516	0,8253	0,7082
DISC	-18,36	-8,96	75,02	36,61	0,8384	0,9082	0,7074
SKARTVEIT	-15,56	-7,59	66,81	32,61	0,8719	0,9041	0,7596
DIRINT	-16,44	-8,04	65,97	32,27	0,8759	0,9053	0,7664
REINDL3	-4,66	-2,28	70,31	34,40	0,8473	0,8516	0,7093
ENGERER	8,72	4,26	72,20	35,24	0,8458	0,9380	0,7225
BRL	-24,20	-11,85	82,47	40,38	0,8046	0,8289	0,6400
BRL-BR	-45,94	-22,50	93,03	45,55	0,7934	0,8309	0,6248
	·	•		·	·	•	

Fonte: Autor.

- → Modelos de um parâmetro apresentaram *skill score* abaixo de 0,64
- → ENGERER, SKARTVEIT e DIRINT obtiveram altas correlações e os maiores SS4
- → Em Gueymard e Ruiz-Arias (2016), embora o modelo de Perez et al. (1992) tenha apresentado os melhores resultados minuto a minuto, recomendam Engerer (2015) para regiões áridas e tropicais.
- → Skartveit *et al.* (1998) se destacou no trabalho de Rodrigues *et al.* (2019) para 3 localidades do semiárido brasileiro com latitudes inferiores (escala horária)

Introducción Objetivos Base de datos Metodología **Observaciones finales** Resultados

Observaciones finales

- → Modelos de um parâmetro apresentaram *skill score* abaixo de 0,64
- → ENGERER, SKARTVEIT e DIRINT obtiveram altas correlações e os maiores SS4 (entre 0,72 e 0,77)
- → Recomenda-se que a separação de *GHI* nas simulações de sistemas FV ou térmicos localizados na região de estudo sejam realizadas pelos modelos de Skartveit *et al.* (1998), Perez *et al.* (1992) ou Engerer (2015).
- → Futuras simulações sobre a influência da seleção de diferentes modelos de decomposição de GHI no desempenho de sistemas FV poderão ser realizadas.

References

- Chandrasekaran, J., Kumar, S., 1994. Hourly diffuse fraction correlation at a tropical location. Solar Energy, v. 53, n. 6, p. 505-510.
- Engerer, N. A., 2015. Minute resolution estimates of the diffuse fraction of global irradiance for southeastern Australia. Solar Energy, v. 116, p. 215-237.
- Erbs, D. G., Klein S. A., Duffie J. A., 1982. Estimation of the diffuse radiation fraction for hourly, daily and monthly average global radiation. Solar Energy, v. 28, n. 4, p. 293-302.
- Gueymard, C. A.; Ruiz-Arias, J. A., 2016. Extensive worldwide validation and climate sensitivity analysis of direct irradiance predictions from 1-min global irradiance. Solar Energy, v. 128, p. 1–30.
- Lemos, L. F., Starke, A. R., Boland, J., Cardemil, J. M., Machado, R. D., Colle, S., 2017. Assessment of solar radiation components in Brazil using the BRL model. Renewable Energy, v. 108, p. 569-580.
- Maxwell, E., 1987. A quasi-physical model for converting hourly global horizontal to direct normal insolation. Tech. rep., Solar Energy Research Institute. Golden, CO (USA).
- Orgill J., Hollands K., 1977. Correlation equation for hourly diffuse radiation on a horizontal surface. Solar Energy, v. 19, p. 357-359.
- Perez, R., Ineichen, P., Seals, R. D., Maxwell, E. L., Zalenka, A. J. A. T., 1992. Dynamic global-to-direct irradiance conversion models. ASHRAE transactions, v. 98, n. 1, p. 354–369.
- Petribú, L. B.; Sabino, E.; Barros, H.; Costa, A.; Barbosa, E.; Vilela, O.C., 2017. Procedimento objetivo para a garantia de qualidade de dados de radiação solar. Avances en Energías Renovables y Medio Ambiente-AVERMA, 2017, v. 21, p. 67-78.
- Reindl, D.T., Beckman, W.A., Duffie, J.A., 1990. Diffuse fraction correlations. Solar Energy, v. 45, p. 1–7.
- Ridley, B., Boland, J., Lauret, P., 2010. Modelling of diffuse solar fraction with multiple predictors. Renewable Energy, v. 35 n. 2, p. 478-483.
- Rodrigues, D., Petribú, L., Galdino, J., Vilela, O. C., 2019. Estudo comparativo de modelos de estimativa da radiação difusa no sertão da Paraíba, região Nordeste do Brasil. Avances en Energías Renovables y Medio Ambiente, v. 23, p. 7–18.
- Skartveit, A., Olseth, J. A.; Tuft, M. E., 1998. An hourly diffuse fraction model with correction for variability and surface albedo. Solar Energy, v. 63, n. 3, p. 173–183.
- Tiba, C.; Fraidenraich, N.; Moszkowicz M.; Cavalcant, E. S. C.; Lyra, F. J. M.; Nogueira, A. M. B.; Gallegos, H. G. Atlas Solarimétrico do Brasil: banco de dados solarimétricos. Recife: Ed. Universitária da UFPE, 2000.

Gracias!

João Victor Medeiros joao.furtado@ufpe.br

Diego Miranda diego.rmiranda@ufpe.br

Emerson Gomes emerson.torres@ufpe.br

Olga Vilela ocv@ufpe.br

Alex Pereira alexcp@chesf.gov.br

Eduardo Jatoba ejatoba@chesf.gov.br

Alcides Neto alcidesc@chesf.gov.br

José Melo Filho jbionef@chesf.gov.br











